

R-C 分布回路에 關한 研究

(Research on R-C Distributed Circuits)

正會員 朴 松 培*

(Park, Song Bae)

要 約

어떤 R-C 分布회로의 微分方程式의 解가 既知일 때 이것을 이용하여 多數의 다른 分布회로의 微分方程式의 解를 求하는 方法이 얻어졌다. 任意的 R-C 分布회로를 製作의 便宜上 $R(x)C(x) = \text{一定인 回路로 等價變換하는 圖解的方法이 얻어졌으며 解析의 證明도 可能하다. 또 理論의 取扱의 統一과 簡單을 爲하여 任意的 R-C 分布회로를 $R(x), C(x)$ 어느 한쪽이 一定한 分布회로로 等價變換하는 方法이 얻어졌다. 이 後者의 回路와 近似的인 集中定數회로를 생각하므로서 分布회로의 近似的인 解析, 合成이 比較的 簡単하게 이루어 질수 있다.$

ABSTRACT

A method by which solutions of the differential equations of any other distributed circuits can be obtained is described when the solution of the differential equation of an R-C distributed amplifier is known.

A graphical method of transforming any R-C distributed circuit into an equivalent circuit which has a constant $R(x) \cdot C(x)$ was also obtained. The theoretical verification of this method is possible. For simplicity, any R-C distributed circuit can be transformed into an equivalent circuit which is a distributed circuit of either constant $R(x)$ or $C(x)$. Using this equivalent circuit and considering a lumped circuit, an approximate analysis and synthesis can be made simply.

1. 緒 論

電子회로의 微小化의 傾向은 1959年頃 固體회로의 出現을 가져 왔으며 이것은 眞空管회트백增幅器, 電子計算機 트랜지스터 등에 못지않은 電子工學上의 一大革新으로 看做되고있다. 이 固體회로의 出現에 따라 不均一線路에 對한 關心이 다시 일어났다. 從來 이것은 主로 임피던스整合 및 分布濾波器와 關聯하여 研究되어 왔으며 거의 全部 無損失線路의 假定下에 다루어졌었다. 固體회로로서 實現할 수 있는 인덕턴스의 値는 極히 低으므로 R-C 分布回路만이 考慮의 對象이 된다. 가장 簡單한 R-C 分布회로는 基板上에 共通歸線인 金屬薄膜, 誘電體薄膜, 抵抗薄膜을 차례로 蒸着시킨 構造 또는 金屬

板과 p-n 接合을 갖는 半導體形式 (바이어스電壓을 걸어 정선 캐파시턴스를 利用함)으로 만들어진다. 金屬體와 抵抗體兩端에서 端子を 뽑아내어 1-port 또는 2-port 裝置로 使用하여 어떤 特性을 얻자는 것이다. R, C 層이 均質하고 두께, 幅이 一定한 경우는 均一線路에 해당하나 幾何學的 構造가 均一하지 않던지 導電率 ρ , 誘電率 ϵ 이 一定하지 않으면 R, C가 距離의 函數가 되어 不均一系가 된다. R, C의 層을 여러개 交代로 形成시킨 多層構造도 生覺할 수 있으며 이 경우 導體層과 各 R 層의 兩端에서 端子を 뽑아내면 多端子回路가 생긴다. 또 이構造를 2-port 장치로 使用할때 port의 선택에 따라 (다른 端子是 開放 또는 어느 다른 端子和도 短絡시킬 수 있으므로 實로 多樣的 선택의 可能性이 존재한다.) 여러 가지 傳達特性이 얻어진다. 各種周波數 選擇回路(LPF, HPF, BPF 등) 積分回路, 遲延回路, 移相回路등은 그 用

*서울大學校 工科大學 電子工學科
(Dept. of Electronics Eng., Engineering College, Seoul National Univ.)

接受日字 1966. 3. 2.

途의 數例이다.

固體回路의 一部로서의 R-C 分布回路는 비록 그 길이 가 數 mm 일지라도 低周波數에서도 分布回路로 다루어 야만 하는 理由는 ρ, ϵ 이 크고 層의 두께가 얇아서 系內에서의 波長이 극히 짧아지는데에 起因한다. 分布回路를 記術하는 電壓, 電流의 微分方程式의 解는 $R(x), C(x)$ 의 특별한 變에 대해서만 closed form 으로 求해지며 그것도 一般의 複素周波數 s 의 복잡한 超越函數가 된다. 따라서 回路網函數도 s 의 超越函數가 되고 그 極限點이 s -平面的 負實軸上에 無限個 나타난다. (特別한 多層構造에서는 回路網函數의 一部만이 s 의 有理函數가 되게 할 수 있다.) 이것은 集中定數回路의 回路網函數와는 判異한 性質이며 R-C 分布回路의 解析 및 合成이 곤란한 理由는 여기에 있다. R-C 分布回路의 研究에서 무엇보다도 기초적인 작업은 될 수 있는대로 많은 $R(x), C(x)$ 의 變에 대해서 微方의 正確한 解를 求해 놓는 일이다. 이에 關하여 筆者는 R, C 各 層인 構造에 있어서 (本論文에서는 이런 構造만을 취급한다.) 어떤 $R(x), C(x)$ 의 變에 대한 既知의 解로부터 無限個의 $R(x), C(x)$ 의 變에 대한 正確한 解를 구하는 간단한 方法을 얻었다. 또 現在 技術적으로는 $R(x), C(x)$ 의 層의 두께가 一定하고 幅만이 變하는 그림 1과 같은 回路만이 實現性이 있는데 (특히 薄膜構造에서 그렇다) 이 경우 $R(x) \cdot C(x) =$ 一定 이라는 制限이 있게 된다. 그러나 筆者는 이와 같은 關係가 성립안되는 임의의 回路에 대해서도 端子에 關한 限 이와 等價의이고 $R(x) \cdot C(x) =$ 一定의 關係를 갖

는 回路를 우선 圖解的으로 구하는 方法을 얻었으며 또 그것이 妥當함을 解析的으로 증명도하였다. 비슷한 方法으로 임의의 R-C 分布回路를 $R(x), C(x)$ 中 한쪽이 一定하고 다른쪽만이 變하는 等價回路로 代置하여 解析 및 合成의 統一性和 容易性을 얻는 方法도 提示했다. 최후로 筆者는 임의의 두 종류의 分布素子를 가지고 1-port 및 2-port 回路를 合成하는 一般의인 方法을 論했다.

2. R-C 分布回路의 微分方程式

直列임피던스 並列에드미턴스가 거리에 따라 심하게 변하지 않는 線路는 一次元 문제로 취급할 수 있으며 이 경우의 基礎微分方程式을 라프라스變換된 形式으로 表示하면

$$\frac{dV(x,s)}{dx} = -Z(x,s) \cdot I(x,s), \quad \frac{dI(x,s)}{dx} = -Y(x,s) \cdot V(x,s)$$

여기서 V, I 는 入力端에서 거리 x 인點의 電壓, 電流이고 Z, Y 는 2點의 直列임피던스, 並列에드미턴스이다. s 는 물론 複素周波數이다. R-C 分布回路의 경우 上式은 다음과 같이 된다.

$$\frac{dV(x,s)}{dx} = -R(x) I(x,s), \quad \frac{dI(x,s)}{dx} = -sC(x) V(x,s) \dots (1)$$

여기서 $R(x), C(x)$ 는 各層의 單位長當의 抵抗, 캐파시턴스이고 C 層은 無損失로 가정했다. 第1式을 x 에 關하여 微分하고 第2式을 代入하면 電壓에 대한 微方이 얻어진다. 즉

$$\frac{d^2V}{dx^2} - \frac{1}{R(x)} \cdot \frac{dR(x)}{dx} \cdot \frac{dV}{dx} - sR(x)C(x)V = 0 \dots \dots \dots (2)$$

마찬가지로 電流에 대해서는

$$\frac{d^2I}{dx^2} - \frac{1}{C(x)} \cdot \frac{dC(x)}{dx} \cdot \frac{dI}{dx} - sR(x)C(x)V = 0 \dots \dots \dots (3)$$

이것들은 線型이기는 하나 係數들이 獨立變數의 函數이므로 $R(x), C(x)$ 가 x 의 特殊한 함수인 경우에 限해서 closed form의 解가 얻어진다. 2階微分이므로 예컨대 電壓에 대한 一般解는

$$V(x,s) = C_1 f(x,s) + C_2 g(x,s) \dots \dots \dots (4)$$

와 같이된다. C_1, C_2 는 分布回路兩端의 條件에 의하여 定해지는 積分常數이다. 後의 參考를 위하여 表 1에 몇 가지 線路에 對한 解와 一部의 回路網函數를 羅列하였다.

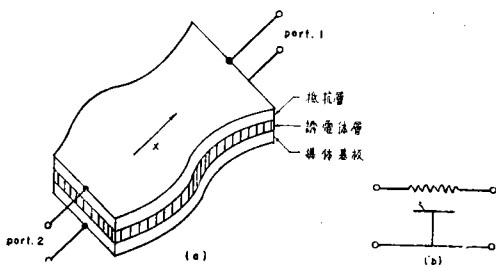


그림 1. 2-port의 R-C 分布回路의 回路圖表示 (Fig. 1 2-port R-C distributed circuit)

表 1. 代表的 線路에 對한 電壓方程式의 解와 回路網函數

	均一線路	指數線路	三角線路	Bassel線路
$R(x)$	R_0	$R_0 e^{2dx}$	$R_0 [\sin(x-x_0)]^{-2}$	$(1+\alpha x)^p$
$C(x)$	C_0	$C_0 e^{-2dx}$	$C_0 [\sin(x-x_0)]^2$	$(1+\alpha x)^q$
$f(x,s)$	e^k	$e^{(\alpha + \sqrt{\alpha^2 + k^2}) \cdot x}$	$\frac{e^{\sqrt{k^2 - \alpha^2} \cdot x}}{\sin(x-x_0)}$	$y^{\frac{1}{2}(1+p)} J_{+k} \left[\frac{2\sqrt{b}}{2+p+q} \cdot y^{\frac{1}{2}(p+q+2)} \right]$

$g(x, s)$	e^{-k}	$e^{(\alpha - \sqrt{\alpha^2 + k^2})x}$	$\frac{e^{-\sqrt{k^2 - \alpha^2}x}}{\sin \alpha(x - x_0)}$	$y^{\frac{1}{2}(1+p)} J_{-k} \left[\begin{matrix} " & " \end{matrix} \right]$
y_{11}	$\frac{k}{R_0} \coth kL$	$\frac{1}{R_0} \left(\frac{\theta}{L} \cosh \theta - \alpha \right)$	$\frac{1}{R_{(0)}} \left[\frac{\theta}{L} \coth \theta - \alpha \tan \alpha (x - x_0) \right]$	省 略
y_{12}	"	$\frac{e^{-2\alpha L}}{R_0} \left(\frac{\theta}{L} \coth \theta + \alpha \right)$	$\frac{1}{R_{(L)}} \left[\frac{\theta}{L} \coth \theta - \alpha \tan \alpha (x - x_0) \right]$	"
$y_{12} = y_{21}$	$-\frac{k}{R_0} \operatorname{csch} kL$	$\frac{-e^{-\alpha L}}{R_0} \cdot \frac{\theta}{L} \operatorname{csch} \theta$	$\frac{-\theta}{L \sqrt{R_{(0)} R_{(L)}}} \cdot \operatorname{csch} \theta$	"
備 考	$k = \sqrt{sR_0 C_0}$, $L = \text{길이}$ y_{ij} 는 admittance parameter,		$\theta = \begin{cases} L\sqrt{\alpha^2 + k^2} (\text{지수선로}) \\ L\sqrt{k^2 - \alpha^2} (\text{삼각선로}) \end{cases}$	$k = \frac{1+p}{2+p+q}$, $y = 1 + \alpha x$ $b = sC_0 R_0 / \alpha^2$ $J_{\pm k}$ 는 Bessel 函數

3. 既知의 解로부터 다른 解를 얻는 方法

基礎方程式

$$\frac{dV}{dx} = -R(x)I, \quad \frac{dI}{dx} = -sC(x)V \dots \dots \dots (5)$$

로부터 電壓方程式

$$\frac{d^2V}{dx^2} - \frac{1}{R(x)} \cdot \frac{dR(x)}{dx} \cdot \frac{dV}{dx} - sR(x)C(x)V = 0 \dots \dots \dots (6)$$

가 얻어지는데 지금 어떤 $R(x)$, $C(x)$ 에 대한 解가

$$V = C_1 f(x, s) + C_2 g(x, s) \dots \dots \dots (7)$$

와 같이 求해졌다고 하자 그러면 u 가 x 의 임의의 함수 일때

$$R_1(x) = R(u) \frac{du}{dx}, \quad C_1(x) = C(u) \frac{du}{dx} \dots \dots \dots (8)$$

인 分布回路에 대한 기초方程式은

$$\frac{dV}{dx} = -R_1(x)I, \quad \frac{dI}{dx} = -sC_1(x)V$$

또는 $\frac{dV}{du} \cdot \frac{du}{dx} = -R(u) \cdot \frac{du}{dx} I$

$$\frac{dI}{du} \cdot \frac{du}{dx} = -sC(u) \frac{du}{dx} V$$

또는 $\frac{dV}{du} = -R(u)I, \quad \frac{dI}{du} = -sC(u)V \dots \dots \dots (9)$

와 같이 된다. 式(9)는 式(5)에서 x 를 u 로 代置한것이 不過하므로 電壓方程式도 式(6)의 x 를 u 로 代置한것 따라서 그 解도 式(7)의 x 를 u 로 代置한

$$V = C_1 f(u, s) + C_2 g(u, s) \dots \dots \dots (10)$$

와 같다. 즉 어떤 $R(x)$, $C(x)$ 에 대한 方程式의 解가 既知일때 R, C 가 $R(u) \frac{du}{dx}, C(u) \frac{du}{dx}$ (u 는 x 의 任意의 함수)와 같이 변하는 回路의 解는 前者의 解에서 x 를 u 로 代置함으로써 쉽게 求해진다. 더 구체적으로 例를 들어 설명하면 $R(x) = R_0 e^{2\alpha x}, C(x) = C_0 e^{-2\alpha x}$ 인 指數線路의 電壓方程式의 解는

$$V = C_1 e^{\sqrt{sR_0 C_0} x} + C_2 e^{-\sqrt{sR_0 C_0} x}$$

인 것을 우리는 알고 있으므로 (表1 參照).

$$R(x) = R_0 e^{2\alpha x} \frac{du}{dx}, \quad C(x) = C_0 e^{-2\alpha x} \cdot \frac{du}{dx} \quad (u \text{는 } x \text{의 임의의 함수})$$

의 함수)인 선로의 解는

$$V = C_1 e^{\sqrt{sR_0 C_0} u} + C_2 e^{-\sqrt{sR_0 C_0} u}$$

와 같다. 그래서 가령 $u = x^2$ 이라 하면

$$R(x) = 2R_0 x e^{2\alpha x^2}, \quad C(x) = 2C_0 x e^{-2\alpha x^2}$$

인 서로의 解는

$$V = C_1 e^{\sqrt{sR_0 C_0} x^2} + C_2 e^{-\sqrt{sR_0 C_0} x^2}$$

와 같고 또 $u = \cosh bx$ (b 는 定數)이라 하면

$$R(x) = R_0 e^{2\alpha \cosh bx} \cdot b \sinh bx, \quad C(x) = C_0 e^{-2\alpha \cosh bx} \cdot b \sinh bx$$

인 서로의 解는

$$V = C_1 e^{\sqrt{sR_0 C_0} \cosh bx} + C_2 e^{-\sqrt{sR_0 C_0} \cosh bx}$$

와 같이 된다.

이것들이 실제로 解가 되는것은 電壓方程式 (6)에 代入하여보면 알수 있다. 이와같이 指數線路 하나만의 解로부터 많은 다른 構造의 線路의 解를 求할수 있는 것이다. 이와같이 求해진 解에 대하여 다시 同一한 演算을 되풀이하여 또 많은 새로운 解들을 얻을수 있음은 勿論이다.

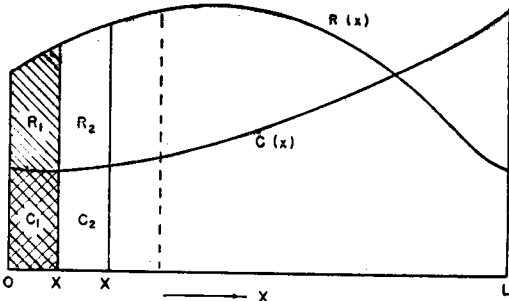
4. $R(x) \cdot C(x) = \text{一定의 關係를 갖는 等價回路}$

緒論에서 言及한 바와 같이 現在 技術의으로는 ρ, ϵ 이 一定하고 各層의 두께가 一定하고 幅만이 변하는 $R-C$ 分布回路가 實現 하기 쉽다. 이경우 $R(x)$ 는 幅에 反比例하고 $C(x)$ 는 幅에 比例하므로 兩者의 積은 一定하게 된다. 지금 回路合成에 있어서 어떤 要求條件을 만족하는 $R(x), C(x)$ 의 雙이 求해졌다고 하자. 그것이 萬一 $R(x) \cdot C(x) = \text{一定의 關係를 가지고 있지 않을때}$, 그것을 이와 같은 關係를 갖는 回路로 等價變換할 수 있다면 回路實現上 매우 有用할 것이다.

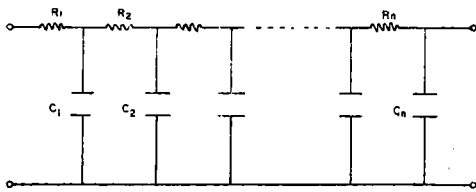
그림 2(a)는 길이 L 인 任意의 $R-C$ 分布回路의 $R(x), C(x)$ 의 變化를 나타낸다. 길이 L 을 n 區間으로 等分하고 各區間的 抵抗 및 캐파시턴스에 해당하는 集中抵抗, 集中캐파시턴스로된 同圖(b)와 같은 集中定數 梯子型回路를 생각한다. 즉 (a), (b)에서

$$\left. \begin{aligned} R_1 &= \int_0^{x_1} R(x) dx, R_2 = \int_{x_1}^{x_2} R(x) dx \dots\dots \\ C_1 &= \int_0^{x_1} C(x) dx, C_2 = \int_{x_1}^{x_2} C(x) dx \dots\dots \end{aligned} \right\} \dots\dots(11)$$

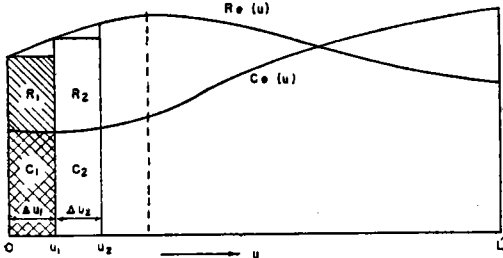
n 을 充分히 크게 하면 (b)의 集中定數回路는 (a)의 分布定數回路와 近似的으로 等價가 되며 $n \rightarrow \infty$ 의 極限에 있어서는 正確히 等價가 된다. 다음에 $R \cdot C = \text{一定}$ 인 關係를 갖고 그 等價微小集中定數回路가 그림 2(b)와 같이 표시되는 R-C 分布回路를 求해보자. 이 後者의 回路에서 入力端부터의 距離를 u 라 하고, 2點에서의 單位長當의



(a)



(b)



(c)

그림 2. R-C 分布回路에서의 $R(x)$, $C(x)$ 의 變化
(Fig. 2 The variations of $R(x)$ and $C(x)$ in a R-C distributed circuit)

抵抗 및 캐파시턴스를 $Re(u)$, $Ce(u)$ 라 하자. 그러면 그 各區間에서는 다음 關係가 성립되어야 할 것이다. (그림 2(c)참조).

$$\left. \begin{aligned} Re(o) \cdot \Delta u_1 &= R_1, Re(u_1) \cdot \Delta u_2 = R_2, \dots\dots \\ Ce(o) \cdot \Delta u_1 &= C_1, Ce(u_1) \cdot \Delta u_2 = C_2, \dots\dots \end{aligned} \right\} \dots\dots(12)$$

$$Re(o) \cdot Ce(o) = Re(u_1) \cdot Ce(u_1) = \dots = K(\text{一定}) \dots\dots(13)$$

그러므로 第一區間에 對해서는

$$\frac{Re(o)}{Ce(o)} = \frac{R_1}{C_1}, Re(o) \cdot Ce(o) = K$$

의 關係로부터 $Re(o)$, $Ce(o)$ 를 구하고 또 $\Delta u_1 = \frac{R_1}{Re(o)}$ 에 의하여 Δu_1 을 定하면된다. 第二, 第三區間도 마찬가지로 하여 各區間的 길이 및 $Re(u)$, $Ce(u)$ 의 値를 順次로 定해진다. 最후로 $Re(o)$, $Re(u_1)$,; 및 $Ce(o)$, $Ce(u_1)$,를 미끄러운 曲線으로 연결 하면 이것이 곧 (b)와 近似的으로 等價가 되는 $Re(u) \cdot Ce(u) = K$ 인 分布回路가 되는 것이다.

區間數 n 을 ∞ 로 하면 (b)와 (a), (b)와 (c) 따라서 (a)와 (c)는 正確하게 等價가 된다. 이 極限의 경우에 式(12), (13)은 式(11)을 참조하여 다음과 같이 表示된다.

$$\left. \begin{aligned} \int_0^x R(x) dx &= \int_0^x Re(u) du \\ \int_0^x C(x) dx &= \int_0^x Ce(u) du \end{aligned} \right\} \dots\dots(14)$$

$$Re(u) \cdot Ce(u) = K \dots\dots(15)$$

式(14)에서 積分의 上限 x, u 는 兩回路에 對應하는 距離이다. 一旦 이 原理를 解得하면 (b)를 거치지 않고 (a)에서 직접 (c)를 作圖하는것은 容易한 일이다. 다음에는 以上の 圖解의 方法이 妥當함을 解析的으로 證明하자, 式(14)의 兩邊을 x 에 關하여 미분하면

$$R(x) = Re(u) \cdot \frac{du}{dx}, C(x) = Ce(u) \frac{du}{dx} \dots\dots(16)$$

이 두式을 곱하고 式(15)의 關係를 이용하면

$$R(x) \cdot C(x) = K \left(\frac{du}{dx} \right)^2$$

따라서

$$u = \frac{1}{\sqrt{K}} \int_0^x \sqrt{R(x) \cdot C(x)} dx = h(x) \dots\dots(17)$$

이것이 兩回路의 獨立變數 u 와 x 와의 函數關係다. u 는 x 의 單調增加函數이고 $x=0$ 일 때 $u=0$ 이고 또 $x=L$ 일 때 $u=L'$ 라 하면

$$L' = \frac{1}{\sqrt{K}} \int_0^L \sqrt{R(x) \cdot C(x)} dx \dots\dots(18)$$

이것이 兩回路의 長이의 相互關係이며 K 를 적당히 함으로써 等價回路의 長이 L' 를 임의로 조절할 수 있음을 알 수 있다. 한편 兩系를 記述하는 基礎微分方程式은

$$\frac{dV}{dx} = -R(x)I, \frac{dI}{dx} = -C(x)V \dots\dots(19)$$

$$\frac{dV}{du} = -Re(u)I, \frac{dI}{du} = -Ce(u)V \dots\dots(20)$$

式(20)의 兩邊에 $\frac{du}{dx}$ 을 곱하고 (16)의 關係를 이용하면 式(19)가 얻어진다. 즉 式(19)와 式(20)은 式(16) 따라서 式(17)의 變數關係에 의하여 相互變換된다. 그러므로 式(20)의 一般解에서 u 代身에 式(17)로 定義된 $h(x)$ 를 代入하면 式(19)의 一般解가 얻어진다. 그러므로 $u=0$, $u=L'$ 에 임의의 境界條件을 출때의 式(20)의 特解는 對應하는 點 $x=0$, $x=L$ (L 와 L' 와의 關係는 式

(18)로 줄어짐)에 同一한 경계조건을 줄때의 式(19)의 特解와 一致한다. 이것은 곧 길이 L 인 原回路와 길이 L' 인 變換된 回路가 端子外部에 對해서 等價임을 말하는 것이다.

5. $R(x)$ =一定인 等價回路와 近似的合成

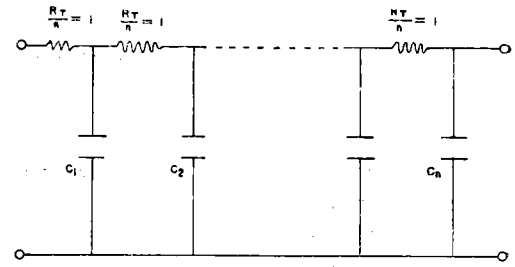
前節에서는 $R(x), C(x)$ 가 서로 무관계하게 變하는 任意的 分布回路를 實現의 便宜上 $R(x) \cdot C(x)$ =一定의 關係를 갖는 回路로 等價變換하는 方法을 記述하였거니와 이 技巧을 그대로 적용하여 任意的 回路를 $R(x)$ =一定, $C(x)$ =可變 또는 $C(x)$ =一定, $R(x)$ =可變인 回路로 等價變換할 수 있다. 解析 또는 合成의 觀點에서 볼 때 한쪽만이 可變인 경우가 다루기 쉬운것은 勿論이다.

이제까지 여러 사람들이 $R(x), C(x)$ 의 여러가지 變에 대하여 研究하여 왔지만 어느 한쪽만이 可變인 回路만을 生覺하면 足하다는 것은 分布回路研究에서의 한 進展을 가져오는것으로 看做할 수 있다. 앞으로 $R(x)$ =一定 = R_0 인 回路를 생각하자 ($C(x)$ =一定인 경우도 쏘려 同一하게 취급된다.) 이경우의 變換關係式은 式(14) 및 $R(u)=R_0$ 이고 u 와 x 와의 關係는

$$u = \frac{1}{R_0} \int_0^x R(x) dx$$

임을 용이하게 알수있다. R_0 의 値는 等價回路의 全抵抗 $R_0 \cdot L'$ 가 原回路의 全抵抗과 같도록 취하면된다. 圖解的으로 等價回路를 求하는데 있어서는 原回路의 길이 L 을 n 等分하는 代身에 各區間에서이 抵抗이 모두 R_T/n (R_T : 全抵抗)와 같도록 定하고 또 兩回路에서 對應하는 各區間에서의 캐파시턴스가 같아지도록 $Ce(u)$ 를 定하면 된다.

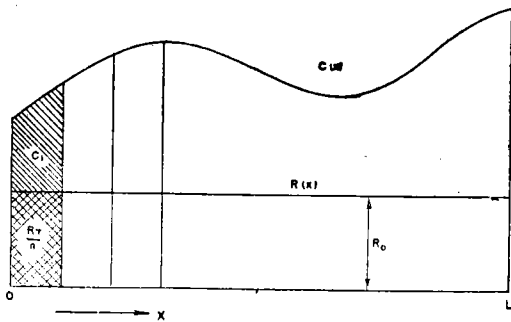
이리하여 모든 $R-C$ 分布回路는 그림 3(a)에 표시한 $R(x)$ =一定인 回路로 等價變換할 수 있는데 이에 있어서도 回路網數들은 s 의 超越函數임을 免치 못한다. 또 極, 零點이 s 平面上 負實軸上에 無限個나타난다. 그러므로 주어진 周波數特性을 엄밀하게 만족하는 $R-C$ 分布回路를



(b)

合成 한다는 것은 지극히 곤란하다. 차라리 分布回路와 近似的인 集中定數回路를 생각하여 近似的으로 문제를 解決하는 길을 擇하는 것이 賢明할것같다. 즉 그림 3(a)의 分布回路를 n 等分하여 各區間의 R, C 에 해당하는 直列抵抗 並列캐파시턴스로 구성된 同圖 (b)와 같은 梯子型 $R-C$ 集中回路를 생각하면 兩者의 回路網函數의 形式은 天壤之差 (하나는 s 의 超越函數 하나는 s 의 有理函數) 이지만 周波數特性은 거의 同一하다. n 을 크게 할 수록 더욱 一致하지만 취급하기 어려워지므로 近似的 方法의 有利性이 없어진다.

等分하므로 直列素子の 抵抗은 모두 R_T/n 인데 취급의 便宜上 이것을 規準化하여 1Ω 로 하자. 또 캐파시턴스도 規準化하여 全캐파시턴스를 n farad로 하면 C_i ($i=1, 2, \dots, n$)들이 1 farad 內外가 되어 취급하기 쉽다. (集中定數回路에서나 分布定數回路에서나 R 을 k 倍하고 C 를 $1/k$ 倍하면 極, 零點의 位置는 不變이고 임피던스 레벨만이 k 倍가된다. 또 R 을 그대로 두고 C 만을 k 倍하면 極, 零點의 位置는 $1/k$ 倍의 位置로 推移되고 임피던스 레벨은 不變이다.) 그러면 近似的集中回路의 回路網函數들의 極, 零點은 C_1, C_2, \dots, C_n 로 表示되고 反對로 極, 零點을 알면 C_1, C_2, \dots, C_n 을 구할 수 있다. 一般的으로 그림 3(b)의 회로의 驅動點임피던스는 s -平面的 負實軸上에 交代로 나타나는 極, 零點 各 n 個를 가지며 開放 傳達點임피던스 Z_{12} 는 極만을 n 個 가진다. 한가지 주의할것은 C_i 들이 너무 急激히 變하면 對應하는 分布回路의 $C(x)$ 도 急激히 變하므로 一次元問題의 假定에서 떨어져 결국 많은 誤差를 가져온다는 것이다. C_i 들이 급격히 變할때의 極, 零點의 位置는 C_i 들이 同一한 경우 (均一線路의 對應)의 分布에서 더욱 推移될 것이 豫想되므로 兩者의 分布狀態를 比較함으로써 (두 回路의 全 캐파시턴스는 같게하고 比較해야함) 結果적으로 얻어지는 誤差의 大小를 짐작할 수 있을 것이다. 이 方法에서 또 한가지 문제는 주어진 周波數特性 (크기와 주파수 關係 또는 位相角과 주파수 關係)을 어떻게 次數 n 의 有理函數로서 近似시키는가 하는 것인데 이것은 集中定數回路理論에서 充分히 發展되어 있으므로 여기서는 省略한다. 이 近似的方法이 주파수가 높아 질수록 큰 偏 差를 가져 오는것은 避할 수 없음을 附言한다.



(a)

그림 3. $R(x)$ =一定인 $R-C$ 分布回路

(Fig. 3. $R-C$ distributed circuit, $R(x)$ =constant)

6. 두 種類의 R-C 分布素子에 의한 回路網合成

前節에서는 R-C 分布素子 하나만으로써 주어진 주파수특성을 만족하는 回路를 求하는 近似的方法을 論하였거니와 素子하나만으로써는 實現할 수 있는 特性에 아무래도 制限이 있게된다. 그러므로 여기서는 두 種類의 素子 여러개를 가지고 1-port, 2-port 回路를 合成하는 문제를 思考하자.

R-C 分布回路의 驅動點임피던스는 모두 임피던스레벨을 나타내는 係數와 s의 函數와의 積으로 表示된다. 즉

$$Z(s) = a \cdot W(s)$$

例컨데 短絡된 指數線路의 驅動點임피던스는 表1을 참고로

$$Z(s) = R_0 [\sqrt{\alpha^2 + sR_0C_0} \coth L \sqrt{\alpha^2 + sR_0C_0} - \alpha]^{-1}$$

임피던스 R_0 = 入力端에서의 單位長當抵抗 = a,

$$W(s) = [\sqrt{\alpha^2 + sR_0C_0} \coth L \sqrt{\alpha^2 + sR_0C_0} - \alpha]^{-1}$$

로 보된다. $W(s)$ 가 同一하고 a만이 다른 한 種類의 素子들을 思考할 수 있다. 例컨데 위의 指數分布素子에서 flare constant α , 길이 L , R_0C_0 가 同一하고 R_0 만이 다른 (R_0 의 변화에 따라 C_0 가 反比例하여 變해야함) 여러 素子들이 存在한다. 그래서 두 種類의 素子들의 임피던스들

$$Z_1(s) = a_1 W_1(s), Z_2(s) = a_2 W_2(s)$$

와 같이 表示하자. 同種의 素子에서는 $W_1(s)$ 또는 $W_2(s)$ 는 同一하고 임피던스 레벨에 關係되는 定數 a_1 또는 a_2 만이 다르다. 上式을 다음과 같이 써보자.

$$Z_1(s) = a_1 \sqrt{W_1(s) \cdot W_2(s)} \cdot \sqrt{\frac{W_1(s)}{W_2(s)}}$$

$$Z_2(s) = a_2 \sqrt{W_1(s) \cdot W_2(s)} \cdot \sqrt{\frac{W_2(s)}{W_1(s)}}$$

또는

$$Z_1(s) = f(s) \cdot a_1 p, Z_2(s) = f(s) \cdot \frac{1}{(1/a_2)p} \dots\dots(21)$$

但

$$f(s) = \sqrt{W_1(s) \cdot W_2(s)}, p = \sqrt{W_1(s)/W_2(s)} \dots\dots(22)$$

그러면 이 두 種類에 속하는 모든 素子들에 있어서 p는 同一하고 $f(s)$ 는 共通因子이고 a_1, a_2 만이 變한다. p는 s의 函수임으로 이것을 變換된 周波數로 看做할 수 있다. 그러면 p의 領域에서는 $a_1 p$ 는 誘導性리액턴스 $\frac{1}{(1/a_2)p}$ 는 容量性리액턴스를 나타낸다. (a_1 이 L, $1/a_2$ 이 C에 해당함).

(i) 1-port 回路網의 合成 Z_1, Z_2 의 두 種類의 分布素子로 구성된 回路網을 思考하자. $f(s)$ 는 모든 素子의 임피던스에 共通이므로 우선 $f(s)$ 를 除外하고 思考하면 各素子가 p의 領域에서는 L 또는 C에 해당하므로 이 回路網의 驅動點임피던스의 表示式은 보통의 集

中定數回路網의 리액턴스函數와 同一形式이 될것이다. $f(s)$ 까지 思考하면 $f(s)$ 가 이 表示式에 한 係數로 나타나리라는 것은 容易하게 알수있다. 결국

$$Z(s) = f(s) \cdot H \cdot \frac{p(p^2 + \beta_2^2)(p^2 + \beta_3^2) \dots (p^2 + \beta_{2n+q}^2)}{(p^2 + \beta_1^2)(p^2 + \beta_4^2) \dots (p^2 + \beta_{2n}^2)} \quad (23)$$

또는

$$Z(s) = f(s) \cdot H \cdot \frac{(p^2 + \beta_2^2)(p^2 + \beta_4^2) \dots (p^2 + \beta_{2n}^2)}{p(p^2 + \beta_3^2)(p^2 + \beta_5^2) \dots (p^2 + \beta_{2n+q}^2)} \quad (24)$$

但 $H > 0, 0 < \beta_2 < \beta_3 < \dots, q = +1$ 또는 -1 .

驅動點에드미턴스의 表示式에는 물론 $1/f(s)$ 가 붙는다.

다음에는 驅動點임피던스가 式(23) 또는 (24)로 주어졌을때 이것을 Z_1, Z_2 의 두 種類의 分布素子로 實現하는 문제를 思考하자. 여기서도 集中 리액턴스 1-port 回路網의 合成法에 關한 知識을 그대로 應用할 수 있다. 즉 $f(s)$ 를 除外한 表示式을 部分分數 또는 連分數로 展開한 다음 各項에 $f(s)$ 를 곱하면 各項은 式(21)의 임피던스들로 表示되므로 Foster 또는 Caer 形의 回路로 實現할 수 있다.

(ii) 2-port 回路網의 合成

위의 高찰로부터 임의의 두 種類의 分布素子들로 된 2-port 回路網의 回路網函數도 變換된 주파수 p로서 表示하면 보통의 集中리액턴스 2-port 回路網의 函數와 同一形式이 되리라는 것은 쉽게 알 수 있다. 다만 주의할것은 임피던스의 元을 갖는 函數에는 $f(s)$ 라는 계수가 붙고 또 애드미턴스의 元을 갖는 函數에는 $1/f(s)$ 라는 계수가 붙으나 電壓比 또는 電流比등을 나타내는 元이 없는 函수에는 $f(s)$ 가 붙지않고 p만의 有理函數가 된다는 것이다. 그래서 例컨데 開放임피던스파라미터는

$$\left. \begin{aligned} z_{11} &= f(s) \cdot \frac{(p^2 + q)(p^2 + 25)}{p(p^2 + 16)} \\ z_{12} &= f(s) \cdot \frac{(p^2 + 1)(p^2 + 4)}{p(p^2 + 16)} \end{aligned} \right\} \dots\dots(25)$$

와 같은 形式이되고 이경우의 開放電壓比는

$$g_{12} = \frac{V_2}{V_1} \Big|_{I_2=0} = \frac{z_{12}}{z_{11}} = \frac{(p^2 + 1)(p^2 + 4)}{(p^2 + 9)(p^2 + 25)}$$

와 같이된다. 回路網函數가 이와같은 形式으로 주어졌을 때 그것을 實現하는 方法도 集中定數 리액턴스回路網合成法을 그대로 應用할 수 있다. 例컨데 式(25)가 주어졌을 때에는 對應하는 集中定數 리액턴스函數

$$\left. \begin{aligned} z_{11} &= \frac{(s^2 + 9)(s^2 + 25)}{s(s^2 + 16)} \\ z_{12} &= \frac{(s^2 + 1)(s^2 + 4)}{s(s^2 + 16)} \end{aligned} \right\}$$

을 思考하여 이것이 그림 4(a)와 같이 實現되므로 所要의 分布素子로 된 回路網은 同圖(b)와 같다

回路圖에는 두 種類의 素子를 區別하기 위하여 Z_1 이 開放임피던스 Z_2 가 短絡임피던스를 나타내는 것으로하여 表示하였다.

(iii) 特性의 近似法

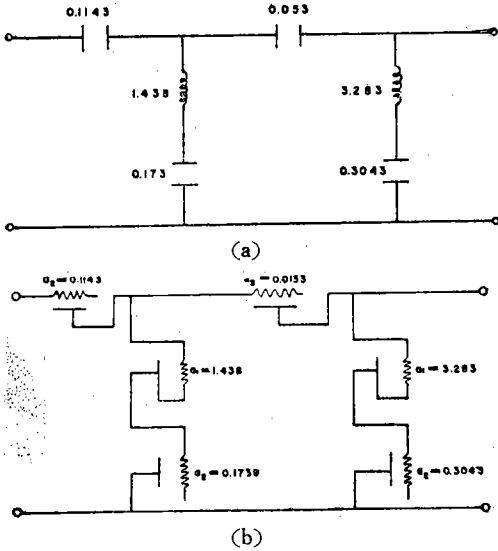


그림 4. (25)式的 例의 集中定數回路 및 分布定數回路 (Fig.4 Lumped circuit and distributed circuit of the example of Eq.25)

위에서는 分布回路的 回路網函數가 變換된 주파수 p 의 有理函數 (및 係數 $f(s)$)에 의하여 주어졌으므로 가정하였다. 그러나 실제에 있어서는 要求되는 特性(크기 또는 位相角의 주파수 特性)이 實周波數 ω 의 函數로서 그래프에 의하여 주어지는 경우가 대부분이므로 이것을 如何히 上記形式으로 表示하겠는가 하는 문제가 일어난다.

문제를 더 구체적으로 하기 위하여 Z_1 이 한 종류의 RC 均一分布素子の 開放임피던스를 代表하고 Z_2 가 한 종류의 RC 指數分布素子の 短絡임피던스를 代表한다고 하면

$$Z_1(s) = R_0 \cdot \frac{\coth L_1 \sqrt{s R_0 C_0}}{\sqrt{s R_0 C_0}}$$

$$Z_2(s) = R(o) \cdot$$

$$\frac{1}{\sqrt{\alpha^2 + SR(o)C(o)} \cdot \coth L_2 \sqrt{\alpha^2 + SR(o)C(o)} - \alpha}$$
간단을 위하여 $L_1=L_2=1, R_0C_0=R(o)C(o)=1$ 인 경우를 생각하면

$$Z_1(s) = R_0 \frac{\coth \sqrt{s}}{\sqrt{s}}$$

$$Z_2(s) = R(o) \cdot [\sqrt{\alpha^2 + s} \coth \sqrt{\alpha^2 + s} - \alpha]^{-1}$$

指數素子들의 flare constant α 는 모두 같아야 한다.

$a_1=R_0, a_2=R(o)$ 로 보면 $f(s), p(s)$ 는 式(22)로부터

$$f(s) = \left[\frac{\coth \sqrt{s}}{\sqrt{s}(\sqrt{\alpha^2 + s} \coth \sqrt{\alpha^2 + s} - \alpha)} \right]^{\frac{1}{2}}$$

$$p(s) = \left[\frac{\coth \sqrt{s}}{\sqrt{s}} (\sqrt{\alpha^2 + s} \cdot \coth \sqrt{\alpha^2 + s} - \alpha) \right]^{\frac{1}{2}}$$

式(23)~(24)에서 보듯이 두 종류의 分布素子들로 구성된 回路網의 回路網函數는 모다 $f(s), p(s), p^2 + \beta^2$ (β 는 正實數)의 세가지 因子의 積, 商으로 구성되므로 미

리 $f(j\omega), p(j\omega), p^2(j\omega) + \beta^2$ 의 크기와 角들을 계산하여 (이 最終項에서는 β 를 파라메터로 하여야 함 電子計算機의 힘을 빌려야 할것임) ω 의 函數로서 그래프를 그려 놓는다. 크기는 dB로 表示하는 것이 좋을 것이다. 그러면 例컨대 驅動點임피던스의 크기 의 주파수특성이 dB로 주어졌을 때 우선 여기에서 $20 \log |f(j\omega)|$ dB를 減하고 다시 $20 \log |p(j\omega)|$ dB를 加 또는 減한 나머지 20 $\log |p^2(j\omega) + \beta^2|$ dB의 數個의 그래프 (β 가 다른것)의 加減과 可及의 같게 되도록 맞춘다. 이렇게 함으로써 式(23) 또는 (24)와 같은 表示式을 얻을 수 있다.

擇한 두 종류의 Z_1, Z_2 로서 주어졌던 特性을 만족시킬 수 없을 때에는 다른 雙의 Z_1, Z_2 에 대하여 反復하여야 한다. 集中定數回路가 달라서 R-C 分布素子の 種類는 無數히 많지만 실제의 製作上의 문제를 고려하여 可能하면 간단한 素子들을 擇해서 實現하도록 해야 할것이다.

7. 結 論

어떤 R-C 分布回路的 微分方程式의 解가 既知일 때 이것을 이용하여 多數의 다른 分布回路的 微方의 解를 求하는 方法이 얻어졌다. 任意的 R-C 分布回路를 製作의 便宜上 $R(x)C(x) = \text{一定인}$ 回路로 等價變換하는 圖解의 方法이 얻어졌으며 解析의 證明도 可能하다. 또 理論의 取扱의 統一과 簡單을 위하여 任意的 R-C 分布回路를 $R(x), C(x)$ 어느 한쪽이 一定한 回路로 等價變換하는 方法이 얻어졌다. 이 後者의 回路와 近似的인 集中定數回路를 생각함으로써 分布回路的 近似的인 解析, 合成이 比較的 간단하게 이루어 질수 있다. 最後로 周波數變換의 개념을 이용하여 두 종류의 分布素子에 의한 1-port, 2-port 回路網 合成을 集中定數 리액턴스回路網 合成法에 準하여 할 수 있다. 이 方法은 한쪽이 分布素子 다른쪽이 集中素子 또는 兩쪽이 集中素子인 경우에도 擴大適用 될 수 있다.

R-C 分布回路的 回路網函數 s 가 의 超越函數이고 그 極, 零點이 無限個 있다는 사실은 分布回路實現에 必要하고 充分한 條件을 求하는것을 至難하게 한다. 그러나 近似的인 集中回路를 생각함으로써 近似的인 條件을 求하는것은 어렵지 않을 것이다. 本文에서 고찰할 R,C 各 層層의 구조로서는 이 條件이 매우 制限되고 있음이 틀림없으므로 (例컨대 임피던스의 크기는 ω 의 單調減少 函數가 되는等) 앞으로는 多層構造에 관한 연구가 필요 하겠으나 均一構造以外에는 理論의 取扱이 더욱 어려워진다.

參 考 論 文

1. L. Grunner, "The Steady-State Characteristics

of Non-Uniform RC Distributed Networks and Lossless Lines", IEEE. Trans. on Circuit Theory, Vol. CT-12, June, 1965.

2. J. Kelly and M. Ghausi, "Network Properties of Distributed RC Networks with Arbitrary Geometric Shapes," New York University Technical Report 400-107, 1965.

3. M.J. Hellstrom, "Equivalent Distributed RC Networks or Transmission Lines," IRE Trans. on

Circuit Theory, Vol. CT-9, Sept, 1962.

4. D. Roy, "Some Exactly Solvable Non-Uniform RC Lines," IEEE Trans. on Circuit Theory, Vol. CT-12, March, 1965.

5. R.W. Wyndrum, "The Exact Synthesis of Distributed RC Networks," New York University Technical Report 400-76, May, 1963.

6. A. Tachibana, "Synthesis of Distributed RC 1-port Networks. J. IEE, Japan, 1963.